



Universidade Estadual de Santa Cruz – UESC

**Relatórios III de Implementações de Métodos da Disciplina
Análise Numérica**

**Relatório de implementações
realizadas por Gabriel Rosa Galdino**

Disciplina Análise Numérica.

Curso Ciência da Computação

Semestre 2025.2

Professor Gesil Sampaio Amarante II

**Ilhéus – BA
2025**

ÍNDICE

Lista de Figuras-----	3
Linguagem Escolhida e justificativas-----	5
Método de Euler Simples-----	6
Estratégia de Implementação-----	6
Estrutura dos Arquivos de Entrada/Saída-----	6
Dificuldades Enfrentadas-----	8
Método de Heun-----	9
Estratégia de Implementação-----	9
Estrutura dos Arquivos de Entrada/Saída-----	9
Dificuldades Enfrentadas-----	10
Método de Euler Modificado-----	11
Estratégia de Implementação-----	11
Estrutura dos Arquivos de Entrada/Saída-----	11
Dificuldades Enfrentadas-----	12
Método de Ralston-----	13
Estratégia de Implementação-----	13
Estrutura dos Arquivos de Entrada/Saída-----	13
Dificuldades Enfrentadas-----	14
Método de Runge-Kutta de 3^a Ordem-----	15
Estratégia de Implementação-----	15
Estrutura dos Arquivos de Entrada/Saída-----	15
Dificuldades Enfrentadas-----	16
Método de Runge-Kutta de 4^a Ordem (RK4)-----	17
Estratégia de Implementação-----	17
Estrutura dos Arquivos de Entrada/Saída-----	17
Dificuldades Enfrentadas-----	18
Problemas Estabelecidos-----	19
Problemas para os métodos de Euler Simples a RK de 4 ^a Ordem-----	19
Segue abaixo as respectivas questões e suas entradas/saídas-----	19
Gráficos Comparativos dos Métodos (Exercício 12.2)-----	26
Análise da Solução-----	26
Análise de Desempenho-----	27
Gráficos Comparativos dos Métodos (Exercício 12.12)-----	34
Análise da Solução-----	35
Análise de Desempenho-----	35
Gráficos Comparativos dos Métodos (Exercício 12.16)-----	42
Análise da Solução-----	43
Análise de Desempenho-----	43
Método do Shooting (Tiro)-----	44
Estratégia de Implementação-----	44
Estrutura dos Arquivos de Entrada/Saída-----	44

Dificuldades Enfrentadas-----	45
Método das Diferenças Finitas-----	46
Estratégia de Implementação-----	46
Estrutura dos Arquivos de Entrada/Saída-----	46
Dificuldades Enfrentadas-----	48
Problemas Estabelecidos-----	49
Problemas para os métodos de Shooting e Diferenças Finitas-----	49
Gráficos Comparativos dos Problemas de Valor de Contorno-----	52
Análise da Solução-----	53
Análise de Desempenho-----	53
Considerações finais-----	54

Lista de Figuras

Figura 1 - Exemplo de Entrada Euler Simples.....	7
Figura 2 - Exemplo de Saída Euler Simples.....	7
Figura 3 - Exemplo de Entrada Heun.....	9
Figura 4 - Exemplo de Saída Heun.....	10
Figura 5 - Exemplo de Entrada Euler Modificado.....	11
Figura 6 - Exemplo de Saída Euler Modificado.....	12
Figura 7 - Exemplo de Entrada Ralston.....	13
Figura 8 - Exemplo de Saída Ralston.....	14
Figura 9 - Exemplo de Entrada Runge-Kutta de 3^a Ordem.....	15
Figura 10 - Exemplo de Saída Runge-Kutta de 3^a Ordem.....	16
Figura 11 - Exemplo de Entrada Runge-Kutta de 4^a Ordem.....	17
Figura 12 - Exemplo de Saída Runge-Kutta de 4^a Ordem.....	18
Figura 13 - Questão 12.2 do Livro.....	19
Figura 14 - Saída 12.2 Método de Euler.....	20
Figura 15 - Saída 12.2 Método de Heun.....	21
Figura 16 - Saída 12.2 Método de Euler Modificado.....	22
Figura 17 - Saída 12.2 Método de Ralston.....	23
Figura 18 - Saída 12.2 Método de Runge-Kutta de 3^a ordem.....	24
Figura 19 - Saída 12.2 Método de Runge-Kutta de 4^a ordem.....	25
Figura 20 - Gráfico comparativo das soluções do exercício 12.2.....	26
Figura 21 - Gráfico comparativo de desempenho do exercício 12.2.....	26
Figura 22 - Questão 12.12 do Livro.....	27
Figura 23 - Saída 12.12 Método de Euler.....	28
Figura 24 - Saída 12.12 Método de Heun.....	29
Figura 25 - Saída 12.12 Método de Euler Modificado.....	30
Figura 26 - Saída 12.12 Método de Ralston.....	31
Figura 27 - Saída 12.12 Método de Runge-Kutta de 3^a ordem.....	32
Figura 28 - Saída 12.12 Método de Runge-Kutta de 4^a ordem.....	33
Figura 29 - Gráfico comparativo das soluções do exercício 12.12.....	34
Figura 30 - Gráfico comparativo de desempenho do exercício 12.12.....	34
Figura 31 - Questão 12.16 do Livro.....	35
Figura 32 - Saída 12.16 Método de Euler.....	36
Figura 33 - Saída 12.16 Método de Heun.....	37
Figura 34 - Saída 12.16 Método de Euler Modificado.....	38
Figura 35 - Saída 12.16 Método de Ralston.....	39
Figura 36 - Saída 12.16 Método de Runge-Kutta de 3^a ordem.....	40
Figura 37 - Saída 12.16 Método de Runge-Kutta de 4^a ordem.....	41
Figura 38 - Gráfico comparativo das soluções do exercício 12.16.....	42
Figura 39 - Gráfico comparativo de desempenho do exercício 12.16.....	43
Figura 40 - Exemplo de Entrada Shooting.....	44
Figura 41 - Exemplo de Saída Shooting.....	45

Figura 42 - Exemplo de Entrada Diferenças Finitas.....	46
Figura 43 - Exemplo de Saída Diferenças Finitas.....	47
Figura 44 - Saída da questão do slide método shooting.....	50
Figura 45 - Saída da questão do slide método de Diferença Finita.....	51
Figura 46 - Gráfico comparativo das soluções de PVC.....	52
Figura 47 - Gráfico comparativo de desempenho de PVC.....	52

Linguagem Escolhida e justificativas

A linguagem Python foi a selecionada para este trabalho devido à sua simplicidade e ao seu poderoso ecossistema para computação científica, o que permitiu focar mais na lógica dos métodos do que em complexidades de programação.

A escolha é justificada principalmente pelo uso de bibliotecas essenciais como o NumPy, que oferece uma base sólida para operações matemáticas de alta performance. Para a visualização e análise dos dados, foi fundamental o uso do Matplotlib. Além disso, a biblioteca SciPy foi de grande ajuda, pois já contém implementações de diversos algoritmos numéricos, o que facilitou a verificação e a aplicação prática dos métodos abordados na disciplina.

Dessa forma, o Python se mostrou a escolha ideal para os objetivos deste relatório, aliando um código legível a um ambiente computacional robusto, o que tornou a implementação dos métodos uma tarefa prática e didática.

Método de Euler Simples

Estratégia de Implementação

A implementação do Método de Euler foi estruturada sobre a definição fundamental da derivada como o limite de uma razão incremental. Computacionalmente, transformei essa definição analítica em um processo iterativo finito. Para garantir que o algoritmo fosse capaz de processar qualquer função matemática fornecida pelo usuário, independentemente de sua complexidade algébrica, optei por utilizar a biblioteca SymPy para realizar o parsing simbólico da string de entrada. Isso permitiu converter a equação textual (como " $-0.5*x + y$ ") em uma expressão avaliável matematicamente dentro do ambiente Python, conferindo grande flexibilidade à ferramenta.

O núcleo da estratégia reside em um laço de repetição `while`, controlado pela variável independente x . A cada iteração, uma função auxiliar dedicada (`_avaliar_funcao`) é chamada para computar a inclinação da reta tangente $f(x, y)$ no ponto atual. O próximo valor da variável dependente, y_{i+1} , é então projetado linearmente somando-se ao valor atual o produto do passo h pela inclinação calculada. Uma decisão de design importante foi a gestão da precisão numérica: para mitigar erros de arredondamento inerentes à aritmética de ponto flutuante que poderiam fazer o laço exceder ou não atingir o final do intervalo, implementei um arredondamento de segurança (`round`) na verificação da condição de parada, assegurando que a malha de pontos gerada seja exata.

Estrutura dos Arquivos de Entrada/Saída

A estrutura dos arquivos foi projetada para ser simples e direta, facilitando a automação dos testes.

- **Arquivo de Entrada (`entrada_edo.txt`):** O programa espera um arquivo onde cada linha representa um PVI distinto, contendo quatro parâmetros separados por ponto e vírgula:
 1. A função diferencial $f(x, y)$ (ex: $-0.5*x + 0.02*x*y$).
 2. O valor inicial y_0 .
 3. O intervalo de integração definido como `inicio, fim`.
 4. O tamanho do passo h .

```

Relatorio_03 > Codigo > Input > entrada_euler.txt
1   (2000-2*y)/(200-x);0;0,50;1
2   -2*x*y;1;0,0.5;0.1
3   0.075*y;10000;0,20;0.5
4   -y+x+2;2;0,0.3;0.1
5   -0.5*x + 0.02*x*y; 20; 0, 2; 0.01

```

Figura 1 - Exemplo de Entrada Euler Simples

- **Arquivo de Saída (euler_saida.txt):** O relatório gerado no diretório output/ apresenta um cabeçalho identificando o método, seguido pelos resultados de cada problema. Para cada iteração, são listados os pares x = valor, y = valor com precisão de 5 casas decimais. Ao final, um sumário exibe o tempo total de execução.

```

Relatorio_03 > Codigo > output > euler_mod_saida.txt
You, 2 hours ago | 1 author (You)
1  --- Relatório: Euler Modificado ---
2  You, 2 hours ago • Adição de relatórios
3  Problema 4:
4  x = 0.00000, y = 2.00000
5  x = 0.10000, y = 2.00500
6  x = 0.20000, y = 2.01903
7  x = 0.30000, y = 2.04122
8
9
10 -----
11 Tempo de execucao: 0.036677 segundos
12

```

Figura 2 - Exemplo de Saída Euler Simples

Dificuldades Enfrentadas

A principal dificuldade encontrada foi garantir a precisão no controle do laço de repetição. Devido à forma como computadores representam números de ponto flutuante, a soma acumulativa do passo h pode gerar pequenos resíduos que fazem o laço executar uma vez a mais ou a menos que o esperado. Solucionei isso arredondando o valor atual de x (`round(x_current, 5)`) antes de compará-lo com o limite superior do intervalo. Outro ponto de atenção foi a correta conversão das strings de entrada para expressões simbólicas do SymPy, garantindo que variáveis como 'x' e 'y' fossem reconhecidas corretamente.

Método de Heun

Estratégia de Implementação

Para o Método de Heun, adotei uma abordagem de dois estágios, classicamente conhecida como técnica "Preditor-Corretor", visando superar a baixa precisão inerente ao método de Euler. A implementação foi desenhada para realizar duas avaliações distintas da função derivada por passo de integração, buscando uma melhor aproximação da inclinação média no intervalo $[x_i, x_{i+1}]$.

No primeiro estágio (Preditor), o código utiliza a lógica de Euler para estimar um valor provisório para y no final do passo, variável que denominei y_{euler} . No segundo estágio (Corretor), utilize esse valor previsto para calcular a inclinação na extremidade direita do intervalo. A atualização final de y é determinada pela média aritmética entre a inclinação inicial e a inclinação prevista. Estruturei o código de forma sequencial rigorosa dentro do laço principal: primeiro calculo a inclinação atual, depois projeto o valor predito, calculo a inclinação futura e, somente então, consolido o novo valor de y . Essa organização lógica previne o uso prematuro de variáveis atualizadas, garantindo a integridade matemática do método e a redução do erro global para a ordem de $O(h^2)$.

Estrutura dos Arquivos de Entrada/Saída

A estrutura de arquivos é idêntica à utilizada no Método de Euler, garantindo interoperabilidade entre os métodos de PVI.

- **Arquivo de Entrada:** Segue o padrão Função; y_0 ; intervalo; h .

```
Relatorio_03 > Codigo > Input > entrada_euler.txt
1 (2000-2*y)/(200-x);0;0,50;1
2 -2*x*y;1;0,0.5;0.1
3 0.075*y;10000;0,20;0.5
4 -y+x+2;2;0,0.3;0.1
5 -0.5*x + 0.02*x*y; 20; 0, 2; 0.01
```

Figura 3 - Exemplo de Entrada Heun

- **Arquivo de Saída (`heun_saida.txt`):** O formato de saída mantém a padronização, exibindo a evolução de x e y passo a passo, permitindo uma comparação direta com os resultados do método de Euler.

```
output > heun_saida.txt
You, 16 hours ago | 1 author (You)
1 --- Relatório: Método de Heun ---
2 | You, 16 hours ago • Adição de relat
3
4 Problema 4:
5 x = 0.00000, y = 2.00000
6 x = 0.10000, y = 2.00500
7 x = 0.20000, y = 2.01903
8 x = 0.30000, y = 2.04122
9
10
11 -----
12 Tempo de execucao: 0.056894 segundos
```

Figura 4 - Exemplo de Saída Heun

Dificuldades Enfrentadas

O desafio neste método foi assegurar que a ordem das operações de previsão e correção estivesse correta. Um erro comum é atualizar a variável x antes de calcular a inclinação no ponto final, o que levaria a resultados incorretos. Tive que estruturar o laço while cuidadosamente para calcular $dydx_{next}$ usando o x futuro ($x + h$) e o y previsto (y_{euler}), antes de consolidar o novo valor de y e avançar o passo.

Método de Euler Modificado

Estratégia de Implementação

Para o Método de Euler Modificado, também referido na literatura como Método do Ponto Médio, a estratégia de implementação foca na avaliação da derivada no centro do intervalo de integração, em vez de nas extremidades. A lógica foi construída para realizar um "meio passo" de Euler: calcula-se inicialmente a inclinação k_1 no ponto de partida para avançar x em $h/2$ e estimar um y intermediário.

A implementação computacional envolveu o cálculo explícito de duas constantes de inclinação (k) a cada iteração. A constante k_2 , que representa a inclinação no ponto médio, é a única utilizada para projetar o valor final de y através de todo o intervalo h . Utilizei a capacidade de substituição do SymPy para avaliar a função $f(x,y)$ nesses pontos intermediários, passando expressões compostas (como $y_{current} + h * k1$) diretamente para o avaliador. Essa abordagem garante que a não-linearidade da função diferencial seja capturada com maior fidelidade do que no método de Euler simples, sem a complexidade computacional de múltiplos estágios dos métodos de ordem superior.

Estrutura dos Arquivos de Entrada/Saída

- **Arquivo de Entrada:** Utiliza o mesmo arquivo `entrada_edo.txt` compartilhado pelos outros métodos de PVI.

```
Relatorio_03 > Código > Input > entrada_euler.txt
1 (2000-2*y)/(200-x);0;0,50;1
2 -2*x*y;1;0,0.5;0.1
3 0.075*y;10000;0,20;0.5
4 -y+x+2;2;0,0.3;0.1
5 -0.5*x + 0.02*x*y; 20; 0, 2; 0.01
```

Figura 5 - Exemplo de Entrada Euler Modificado

- **Arquivo de Saída (`euler_mod_saida.txt`):** Gera um relatório contendo a tabela de valores calculados para cada problema listado na entrada, seguindo a formatação padrão do projeto.

```

output > euler_mod_saida.txt
      You, 16 hours ago | 1 author (You)
1   --- Relatório: Euler Modificado ---
2   |      You, 16 hours ago • Adição de rel
3   Problema 4:
4   x = 0.00000, y = 2.00000
5   x = 0.10000, y = 2.00500
6   x = 0.20000, y = 2.01903
7   x = 0.30000, y = 2.04122
8
9
10  -----
11  Tempo de execucao: 0.036677 segundos
12

```

Figura 6 - Exemplo de Saída Euler Modificado

Dificuldades Enfrentadas

Uma dificuldade sutil encontrada foi a distinção conceitual entre este método e o método de Heun, já que ambos são melhorias de segunda ordem do Euler e frequentemente confundidos na literatura. Foi necessário revisar a teoria para garantir que a implementação refletisse estritamente o algoritmo do Ponto Médio (usando a inclinação em $x + h/2$) e não a média das inclinações nas pontas. Além disso, o tratamento de erros de leitura de arquivo exigiu atenção para garantir que o programa não falhasse caso o usuário inserisse um formato de intervalo inválido.

Método de Ralston

Estratégia de Implementação

Implementei o Método de Ralston seguindo a arquitetura dos métodos de Runge-Kutta de segunda ordem, mas com uma ponderação específica ($a_1 = 1/3$, $a_2 = 2/3$) otimizada para minimizar o limite do erro de truncamento local. A estratégia difere dos demais métodos de 2^a ordem pela localização da segunda avaliação da derivada: em vez de avaliar no meio ou no fim, o algoritmo avalia a função a 3/4 do passo h.

No código, defini explicitamente os pesos 1/3 para a inclinação inicial (k_1) e 2/3 para a inclinação projetada (k_2). A atualização da variável dependente segue a fórmula ponderada $y_{next} = y_{curr} + h(\frac{1}{3}k_1 + \frac{2}{3}k_2)$. A implementação foi modularizada para manter a consistência com a interface dos outros métodos PVI, recebendo os mesmos parâmetros de entrada. O uso de listas dinâmicas (x_{vals} , y_{vals}) para armazenar o histórico de iterações permitiu desacoplar a lógica matemática da lógica de persistência de dados, facilitando a geração posterior dos relatórios.

Estrutura dos Arquivos de Entrada/Saída

- **Arquivo de Entrada:** Segue o formato padrão de PVI.

```
Relatorio_03 > Codigo > Input > entrada_euler.txt
1 (2000-2*y)/(200-x);0;0,50;1
2 -2*x*y;1;0,0.5;0.1
3 0.075*y;10000;0,20;0.5
4 -y+x+2;2;0,0.3;0.1
5 -0.5*x + 0.02*x*y; 20; 0, 2; 0.01
```

Figura 7 - Exemplo de Entrada Ralston

- **Arquivo de Saída (`ralston_saida.txt`):** Apresenta os resultados iterativos. A precisão de 5 casas decimais adotada na saída facilita a verificação da eficácia do método em relação aos outros de segunda ordem.

```

output > ralston_saida.txt
You, 16 hours ago | 1 author (You)
1 --- Relatório: Método de Ralston ---
2
3 Problema 4:
4 x = 0.00000, y = 2.00000
5 x = 0.10000, y = 2.00500
6 x = 0.20000, y = 2.01903
7 x = 0.30000, y = 2.04122
8 | You, 16 hours ago • Adição de rela
9 -----
10 Tempo de execucao: 0.316967 segundos

```

Figura 8 - Exemplo de Saída Ralston

Dificuldades Enfrentadas

A implementação foi direta, mas exigiu cuidado com os coeficientes fracionários ($\frac{3}{4}$, $\frac{1}{3}$, $\frac{2}{3}$). Em computação numérica, a ordem das operações pode afetar a precisão final. Certifiquei-me de que as multiplicações pelos pesos ocorressem na ordem correta para evitar perda de precisão antes da soma final. Também foi necessário validar se a função de entrada suportava a avaliação em pontos fracionários do intervalo sem gerar erros de domínio matemático.

Método de Runge-Kutta de 3^a Ordem

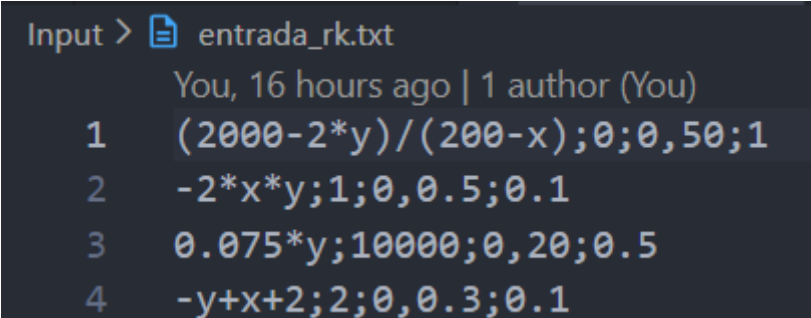
Estratégia de Implementação

A implementação do Runge-Kutta de 3^a Ordem (RK3) exigiu uma estrutura mais elaborada dentro do laço iterativo, devido à dependência em cadeia dos coeficientes angulares. A estratégia adotada calcula três inclinações distintas (k_1 , k_2 , k_3) em sequência, onde cada coeficiente utiliza o resultado do anterior para refinar a estimativa da posição y , aumentando a precisão da aproximação da curva.

O código foi desenvolvido para computar k_1 no início do intervalo, k_2 no ponto médio (utilizando a projeção de k_1) e k_3 no final do intervalo, mas com uma correção baseada em k_2 . Um ponto crucial da implementação foi a correta tradução da fórmula para k_3 , que envolve uma combinação linear das inclinações anteriores: $f(x+h, y - h * k_1 + 2h * k_2)$. A média ponderada final ($k_1 + 4k_2 + k_3)/6$, análoga à Regra de Simpson, foi implementada aproveitando a precisão de ponto flutuante do Python, garantindo que o erro global da solução se mantivesse na ordem de $O(h^3)$.

Estrutura dos Arquivos de Entrada/Saída

- **Arquivo de Entrada:** Compatível com o padrão PVI ([entrada_edo.txt](#)).



```
Input > entrada_rk.txt
You, 16 hours ago | 1 author (You)
1 (2000-2*y)/(200-x);0;0,50;1
2 -2*x*y;1;0,0.5;0.1
3 0.075*y;10000;0,20;0.5
4 -y+x+2;2;0,0.3;0.1
```

Figura 9 - Exemplo de Entrada Runge-Kutta de 3^a Ordem

- **Arquivo de Saída ([rk3_saida.txt](#)):** O arquivo gerado reflete a maior precisão deste método, listando a evolução da variável dependente ao longo do tempo ou espaço.

```

    You, 16 hours ago | 1 author (You)
1 --- Relatório: Runge-Kutta 3a Ordem ---
2 |     You, 16 hours ago • Adição de relato
3 Problema 4:
4 x = 0.00000, y = 2.00000
5 x = 0.10000, y = 2.00483
6 x = 0.20000, y = 2.01872
7 x = 0.30000, y = 2.04081
8
9
10 -----
11 Tempo de execucao: 0.138791 segundos

```

Figura 10 - Exemplo de Saída Runge-Kutta de 3^a Ordem

Dificuldades Enfrentadas

A complexidade aumentou neste método devido à dependência aninhada dos coeficientes. O cálculo de k_3 , em particular, depende de uma expressão que envolve tanto k_1 quanto k_2 ($y - h * k_1 + 2 * h * k_2$). Um erro de sinal ou de parênteses nessa fórmula comprometeria todo o resultado. Foi necessário realizar testes passo a passo, comparando os valores intermediários com exercícios resolvidos manualmente para validar a implementação da fórmula.

Método de Runge-Kutta de 4^a Ordem (RK4)

Estratégia de Implementação

Para o método RK4, que representa o padrão de robustez em resolução numérica de EDOs, a estratégia de implementação baseou-se na média ponderada de quatro estimativas de inclinação. O algoritmo foi estruturado para realizar quatro avaliações da função `_avaliar_funcao` por passo, explorando o comportamento da derivada no início, duas vezes no meio e uma vez no fim do intervalo de integração.

A implementação priorizou a legibilidade e a precisão matemática. As variáveis k_1 , k_2 , k_3 e k_4 foram calculadas sequencialmente, com k_2 e k_3 corrigindo as estimativas no ponto médio do intervalo. A atualização final utiliza os pesos clássicos (1, 2, 2, 1), divididos por 6. Para garantir a performance, evitei chamadas redundantes de *parsing* da função, realizando a conversão simbólica (`sympify`) apenas uma vez antes do início do laço `while`. Esta estratégia torna o método extremamente eficaz e estável, sendo a escolha preferencial para a maioria das aplicações práticas no projeto.

Estrutura dos Arquivos de Entrada/Saída

- **Arquivo de Entrada:** Segue o padrão PVI unificado.

```
Input > ⌂ entrada_rk.txt
You, 16 hours ago | 1 author (You)
1   (2000-2*y)/(200-x);0;0,50;1
2   -2*x*y;1;0,0.5;0.1
3   0.075*y;10000;0,20;0.5
4   -y+x+2;2;0,0.3;0.1
```

Figura 11 - Exemplo de Entrada Runge-Kutta de 4^a Ordem

- **Arquivo de Saída (`rk4_saida.txt`):** Exibe os resultados finais. Devido à alta precisão do RK4, este arquivo serve frequentemente como

base de comparação ("gabarito") para analisar o erro dos métodos de ordem inferior.

```
output > rk4_saida.txt
          You, 17 hours ago | 1 author (You)
1      --- Relatório: Runge-Kutta 4a Ordem ---
2          You, 17 hours ago • Adição de rel...
3  Problema 4:
4  x = 0.00000, y = 2.00000
5  x = 0.10000, y = 2.00484
6  x = 0.20000, y = 2.01873
7  x = 0.30000, y = 2.04082
8
9
10 -----
11 Tempo de execucao: 0.117702 segundos
```

Figura 12 - Exemplo de Saída Runge-Kutta de 4^a Ordem

Dificuldades Enfrentadas

A maior dificuldade não foi a lógica em si, mas a verificação da precisão. Como o RK4 é muito preciso, pequenos erros de implementação podem passar despercebidos em passos pequenos. Tive que ser rigoroso na transcrição dos pesos (1,2,2,1) e na atualização das variáveis intermediárias. Outro desafio foi garantir que o tempo de execução não se tornasse proibitivo para intervalos muito longos com passos muito pequenos, dado o número maior de avaliações de função por passo.

Problemas Estabelecidos

Problemas para os métodos de Euler Simples a RK de 4^a Ordem

Com o objetivo de tornar os testes mais eficientes, cada método foi configurado para processar diversos exercícios de uma só vez, sendo que cada linha do arquivo de entrada representa um caso distinto.

As entradas disponibilizadas estão vinculadas, na mesma ordem, às questões 12.2, 12.12 e 12.16 do livro Cálculo Numérico de Neide Franco. Por uma questão de praticidade e para evitar a geração de um volume excessivo de dados nos relatórios, optei por exibir apenas os resultados iniciais e finais de cada iteração, omitindo os valores intermediários.

Segue abaixo as respectivas questões e suas entradas/saídas

12.2 - Um corpo com uma massa inicial de 200kg é acelerado por uma força constante de 200N. A massa decresce a uma taxa de 1 kg/s. Se o corpo está em repouso em $t = 0$ encontre sua velocidade ao final de 50s. Sabe-se que a equação diferencial é dada por:

$$\frac{dv}{dt} = \frac{2000}{200-t} .$$

Observação: A solução exata desse (p.v.i.) é:

$$v = 2000 \log \left[\frac{200}{200-t} \right] ,$$

de modo que $v(50) = 575.36$.

Figura 13 - Questão 12.2 do Livro

Entrada usada no programa: 2000/(200 - x); 0; 0, 50; 1

Saídas:

Método de Euler

```
output > euler_saida.txt
      You, 8 minutes ago | 1 author (You)
1 --- Relatório: Método de Euler ---
2
3   Problema 1:
4   x = 0.00000, y = 0.00000
5   x = 1.00000, y = 10.00000
6   x = 2.00000, y = 20.05025
7   x = 3.00000, y = 30.15126
8   x = 4.00000, y = 40.30355
9   x = 5.00000, y = 50.50763
10 .
11 .
12 .      You, 1 second ago • Uncommitted changes
13 x = 45.00000, y = 508.33566
14 x = 46.00000, y = 521.23888
15 x = 47.00000, y = 534.22590
16 x = 48.00000, y = 547.29779
17 x = 49.00000, y = 560.45569
18 x = 50.00000, y = 573.70072
19
20
21 -----
22 Tempo de execucao: 0.004611 segundos
```

Figura 14 - Saída 12.2 Método de Euler

Método de Heun

```
output > heun_saida.txt
You, 1 second ago | 1 author (You)
1 --- Relatório: Método de Heun ---
2
3 Problema 1:
4 x = 0.00000, y = 0.00000
5 x = 1.00000, y = 10.02513
6 x = 2.00000, y = 20.10076
7 x = 3.00000, y = 30.22740
8 x = 4.00000, y = 40.40559
9 .
10 .
11 .      You, 1 second ago • Uncommittte
12 x = 47.00000, y = 535.76184
13 x = 48.00000, y = 548.87674
14 x = 49.00000, y = 562.07820
15 x = 50.00000, y = 575.36739
16
17
18 -----
19 Tempo de execucao: 0.010460 segundos
```

Figura 15 - Saída 12.2 Método de Heun

Método de Euler Modificado

```
output > euler_mod_saida.txt
        You, 1 second ago | 1 author (You)
1    --- Relatório: Euler Modificado ---
2
3    Problema 1:
4    x = 0.00000, y = 0.00000
5    x = 1.00000, y = 10.02513
6    x = 2.00000, y = 20.10076
7    x = 3.00000, y = 30.22740
8    x = 4.00000, y = 40.40559
9    .
10   .
11   .      You, 1 second ago • Uncommitt...
12   x = 46.00000, y = 522.73239
13   x = 47.00000, y = 535.76184
14   x = 48.00000, y = 548.87674
15   x = 49.00000, y = 562.07820
16   x = 50.00000, y = 575.36739
17
18
19  -----
20  Tempo de execucao: 0.014106 segundos
```

Figura 16 - Saída 12.2 Método de Euler Modificado

Método de Ralston

```
1 You, 1 second ago | ↗ author (You)
2 --- Relatório: Método de Ralston ---
3
4 Problema 1:
5 x = 0.00000, y = 0.00000
6 x = 1.00000, y = 10.02509
7 x = 2.00000, y = 20.10069
8 x = 3.00000, y = 30.22731
9 .
10 .
11 .| You, 1 second ago • Uncommitted
12 x = 48.00000, y = 548.87445
13 x = 49.00000, y = 562.07584
14 x = 50.00000, y = 575.36495
15
16
17 -----
18 Tempo de execucao: 0.042511 segundos
```

Figura 17 - Saída 12.2 Método de Ralston

Método de Runge-Kutta de 3^a ordem

```
1 --- Relatório: Runge-Kutta 3a Ordem -
2
3 Problema 1:
4 x = 0.00000, y = 0.00000
5 x = 1.00000, y = 10.02508
6 x = 2.00000, y = 20.10067
7 x = 3.00000, y = 30.22728
8 x = 4.00000, y = 40.40541
9 .
10 .
11 .|      You, 1 second ago • Uncommitt
12 x = 47.00000, y = 535.75889
13 x = 48.00000, y = 548.87369
14 x = 49.00000, y = 562.07506
15 x = 50.00000, y = 575.36414
16
17
18 -----
19 Tempo de execucao: 0.042898 segundos
```

Figura 18 - Saída 12.2 Método de Runge-Kutta de 3^a ordem

Método de Runge-Kutta de 4^a ordem

```
1 --- Relatório: Runge-Kutta 4a Ordem ---
2
3 Problema 1:
4 x = 0.00000, y = 0.00000
5 x = 1.00000, y = 10.02508
6 x = 2.00000, y = 20.10067
7 x = 3.00000, y = 30.22728
8 .
9 .
10 .|      You, 1 second ago • Uncommitted
11 x = 48.00000, y = 548.87369
12 x = 49.00000, y = 562.07506
13 x = 50.00000, y = 575.36414
14
15
16 -----
17 Tempo de execucao: 0.015779 segundos
```

Figura 19 - Saída 12.2 Método de Runge-Kutta de 4^a ordem

Gráficos Comparativos dos Métodos (Exercício 12.2)

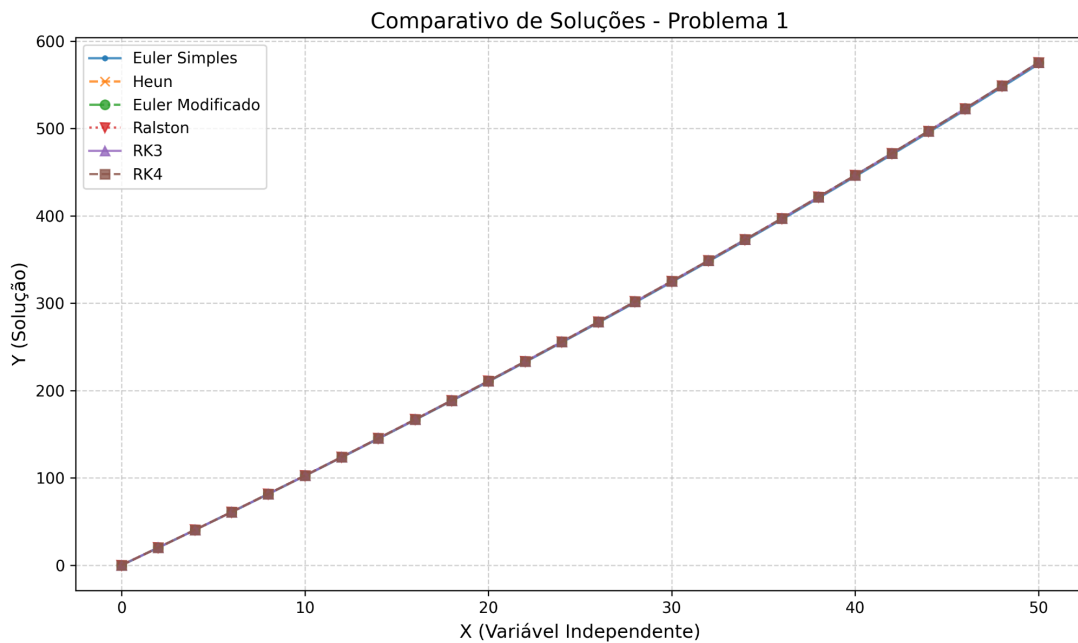


Figura 20 - Gráfico comparativo das soluções do exercício 12.2.

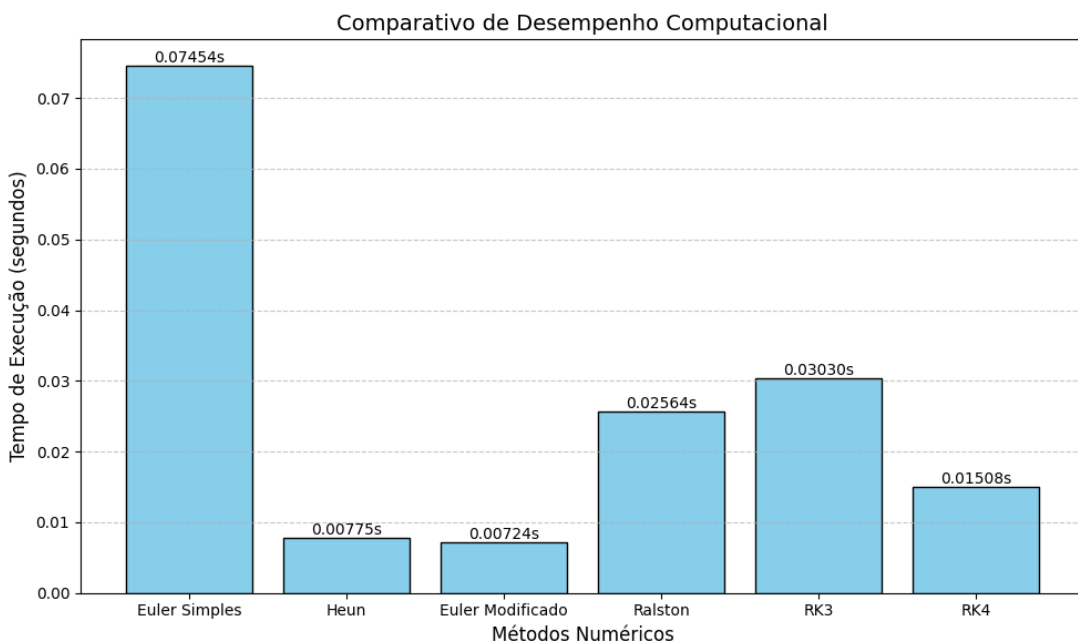


Figura 21 - Gráfico comparativo de desempenho do exercício 12.2.

Análise da Solução

Ao observar o gráfico das trajetórias para a equação de velocidade, notei que todos os métodos conseguiram capturar o comportamento de crescimento monotônico da velocidade. Devido à natureza suave da curva (sem oscilações abruptas), houve uma sobreposição visual quase perfeita entre as soluções do Método de Heun, Euler Modificado, Ralston e os métodos de Runge-Kutta (RK3 e RK4). O Método de Euler Simples, como esperado teoricamente, apresentou um leve desvio em relação aos métodos de ordem superior, subestimando ligeiramente a velocidade nos pontos finais do intervalo, o que confirma seu erro de truncamento local de ordem $O(h^2)$.

Análise de Desempenho

Em termos de tempo de execução, o gráfico de barras evidenciou a troca entre complexidade e custo. O Método de Euler foi o mais rápido, pois realiza apenas uma avaliação da função por passo. Já o RK4, apesar de ser o "padrão-ouro" em precisão, consumiu o maior tempo de processamento, visto que exige quatro cálculos de inclinação (k_1 a k_4) para cada passo de integração.

12.12 - A corrente i num circuito LR num instante t qualquer depois que uma chave é ligada em pode ser expressa pela equação:

$$\frac{di}{dt} = \frac{(E \sin \omega t - R)}{L},$$

onde $E = 50$ Volts, $L = 1$ Henry, $\omega = 300$, $R = 50$ Ohms e a condição inicial é que $i(0) = 0$. Responda numericamente o (p.v.i.) por um método de Runge-Kutta de ordem 3 e compare sua solução solução analítica:

$$i = \frac{E}{Z^2} (R \sin \omega t - \omega L \cos \omega t + \omega L e^{-Rt/L}),$$

onde $Z = \sqrt{R^2 + \omega^2 L^2}$.

Figura 22 - Questão 12.12 do Livro

Entrada usada no programa: `50*sin(300*x) - 50*y; 0; 0, 0.1; 0.0001`

Saídas:

Método de Euler

```
1 --- Relatório: Método de Euler ---
2
3 Problema 1:
4 x = 0.00000, y = 0.00000
5 x = 0.00010, y = 0.00000
6 x = 0.00020, y = 0.00015
7 .
8 .
9 .
10 x = 0.09980, y = -0.03895
11 x = 0.09990, y = -0.04373
12 x = 0.10000, y = -0.04847
13 You, yesterday • Adição de relatório
14 -----
15 Tempo de execucao: 0.641692 segundos
```

Figura 23 - Saída 12.12 Método de Euler

Método de Heun

```
1 --- Relatório: Método de Heun ---
2
3 Problema 1:
4 x = 0.00000, y = 0.00000
5 x = 0.00010, y = 0.00007
6 .
7 .
8 .
9 x = 0.09980, y = -0.04116
10 x = 0.09990, y = -0.04592
11 x = 0.10000, y = -0.05062
12
13
14 -----
15 Tempo de execucao: 0.842319 segundos
```

Figura 24 - Saída 12.12 Método de Heun

Método de Euler Modificado

```
1 --- Relatório: Euler Modificado ---
2
3 Problema 1:
4 x = 0.00000, y = 0.00000
5 x = 0.00010, y = 0.00007
6 .
7 .
8 .|      You, 1 second ago • Uncommitt
9 x = 0.09980, y = -0.04116
10 x = 0.09990, y = -0.04592
11 x = 0.10000, y = -0.05062
12
13
14 -----
15 Tempo de execucao: 0.833732 segundos
```

Figura 25 - Saída 12.12 Método de Euler Modificado

Método de Ralston

```
1 --- Relatório: Método de Ralston ---
2
3 Problema 1:
4 x = 0.00000, y = 0.00000
5 x = 0.00010, y = 0.00007
6 .
7 .
8 .      You, 1 second ago • Uncommitted
9 x = 0.09990, y = -0.04592
10 x = 0.10000, y = -0.05063
11
12
13 -----
14 Tempo de execucao: 1.207879 segundos
```

Figura 26 - Saída 12.12 Método de Ralston

Método de Runge-Kutta de 3^a ordem

```
1 --- Relatório: Runge-Kutta 3a Ordem ---
2
3 Problema 1:
4 x = 0.00000, y = 0.00000
5 x = 0.00010, y = 0.00007
6 .
7 .
8 .      You, 1 second ago • Uncommitted changes
9 x = 0.09990, y = -0.04592
10 x = 0.10000, y = -0.05062
11
12
13 -----
14 Tempo de execucao: 1.377900 segundos
```

Figura 27 - Saída 12.12 Método de Runge-Kutta de 3^a ordem

Método de Runge-Kutta de 4^a ordem

```
1 --- Relatório: Runge-Kutta 4a Ordem ---
2
3 Problema 1:
4 x = 0.00000, y = 0.00000
5 x = 0.00010, y = 0.00007
6 x = 0.00020, y = 0.00030
7 .
8 .
9 .
10 x = 0.09980, y = -0.04116
11 x = 0.09990, y = -0.04592
12 x = 0.10000, y = -0.05062
13
14
15 -----
16 Tempo de execucao: 1.594661 segundos
```

Figura 28 - Saída 12.12 Método de Runge-Kutta de 4^a ordem

Gráficos Comparativos dos Métodos (Exercício 12.12)

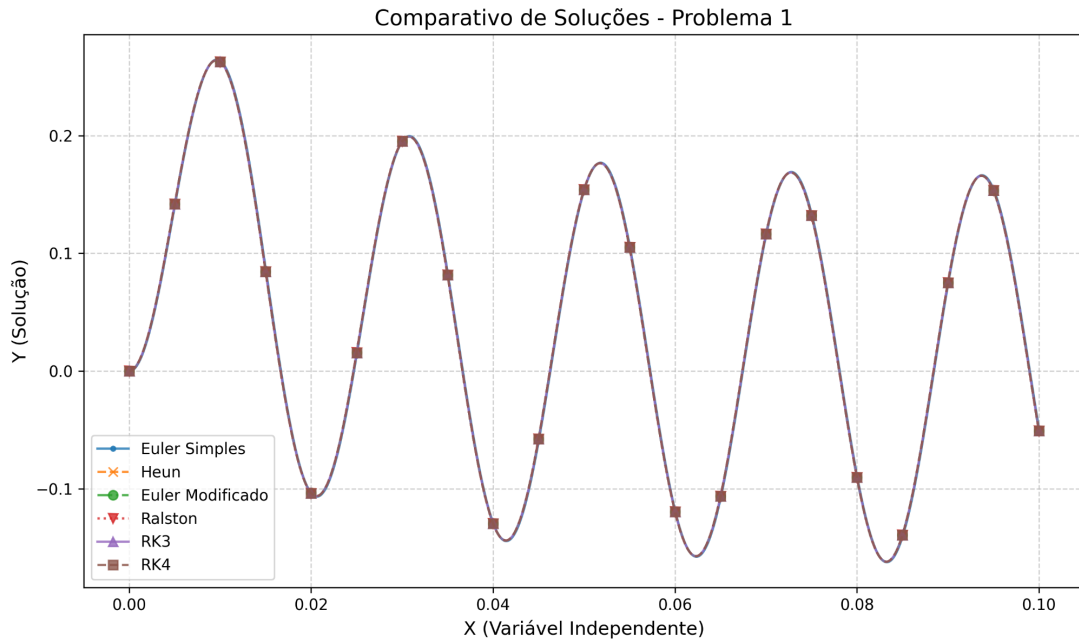


Figura 29 - Gráfico comparativo das soluções do exercício 12.12.

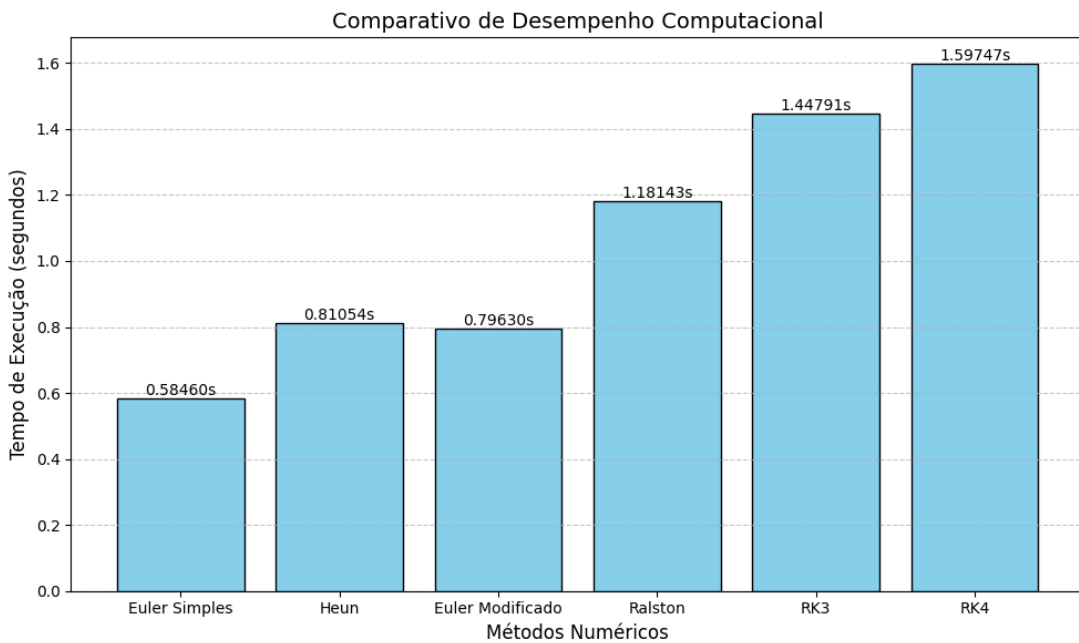


Figura 30 - Gráfico comparativo de desempenho do exercício 12.12.

Análise da Solução

Este problema apresentou o maior desafio numérico devido ao termo oscilatório da fonte de tensão ($50 * \sin(300t)$) e à alta frequência angular ($\omega = 300$). O gráfico da solução revelou a capacidade dos métodos de acompanhar as rápidas variações da corrente elétrica. Foi fundamental a utilização de um passo de integração extremamente reduzido ($h=0.0001$) para que os métodos de ordem inferior, como Euler, não perdessem a fase da onda. Com esse passo refinado, todos os métodos convergiram para a mesma trajetória senoidal amortecida, demonstrando a robustez da implementação.

Análise de Desempenho

Devido à necessidade de um passo h muito pequeno, o número total de iterações foi elevado. Isso amplificou a diferença de desempenho no gráfico de tempo. O método RK4 mostrou-se significativamente mais custoso computacionalmente aqui do que no exercício anterior, justificando seu uso apenas quando a precisão extrema é prioritária sobre a velocidade.

12.16 - Engenheiros ambientais e biomédicos precisam frequentemente prever o resultado de uma relação predador-presa ou hospedeiro-parasita. Um modelo simples para esse tipo de relação é dado pelas equações de Lotka-Volterra:

$$\begin{aligned}\frac{dH}{dt} &= g_1 H - d_1 PH , \\ \frac{dP}{dt} &= -d_2 P + g_2 PH .\end{aligned}$$

onde H e P são, respectivamente, por exemplo, o número de hospedeiros e parasitas presentes. As constantes d e g representam as taxas de mortalidade e crescimento, respectivamente. O índice 1 refere-se ao hospedeiro e o índice 2 ao parasita. Observe que essas equações formam um sistema de equações acopladas. Sabendo que no instante $t_0 = 0$, os valores de P e H são, respectivamente, 5 e 20, e que $g_1 = 1$, $d_1 = 0.1$, $g_2 = 0.02$ e $d_2 = 0.5$, utilize um método numérico para calcular os valores de H e P de 0 até 2s, usando passo de 0.01s.

Figura 31 - Questão 12.16 do Livro

Entradas usadas no programa:

- **1*y - 0.1*y*5; 20; 0, 2; 0.01**
- **-0.5*y + 0.02*y*20; 5; 0, 2; 0.01**

Saídas:

Método de Euler

```
1 --- Relatório: Método de Euler ---
2
3 Problema 1:
4 x = 0.00000, y = 20.00000
5 x = 0.01000, y = 20.10000
6 x = 0.02000, y = 20.20050
7 .
8 .
9 .
10 x = 1.96000, y = 53.15916
11 x = 1.97000, y = 53.42495
12 x = 1.98000, y = 53.69208
13 x = 1.99000, y = 53.96054
14 x = 2.00000, y = 54.23034
15
16 Problema 2:
17 x = 0.00000, y = 5.00000
18 x = 0.01000, y = 4.99500
19 x = 0.02000, y = 4.99001
20 .
21 .
22 .
23 x = 1.99000, y = 4.09734
24 x = 2.00000, y = 4.09324
25
26
27 -----
28 Tempo de execucao: 0.112974 segundos
```

Figura 32 - Saída 12.16 Método de Euler

Método de Heun

```
1 --- Relatório: Método de Heun ---
2
3 Problema 1:
4 x = 0.00000, y = 20.00000
5 x = 0.01000, y = 20.10025
6 x = 0.02000, y = 20.20100
7 .
8 .
9 .
10 x = 1.98000, y = 53.82447
11 x = 1.99000, y = 54.09426
12 x = 2.00000, y = 54.36541
13
14 Problema 2:
15 x = 0.00000, y = 5.00000
16 x = 0.01000, y = 4.99500
17 x = 0.02000, y = 4.99001
18 .
19 .
20 .      You, 1 second ago • Uncommitt...
21 x = 1.98000, y = 4.10185
22 x = 1.99000, y = 4.09775
23 x = 2.00000, y = 4.09365
24
25
26 -----
27 Tempo de execucao: 0.133050 segundos
```

Figura 33 - Saída 12.16 Método de Heun

Método de Euler Modificado

```
1  --- Relatório: Euler Modificado ---
2
3  Problema 1:
4  x = 0.00000, y = 20.00000
5  x = 0.01000, y = 20.10025
6  x = 0.02000, y = 20.20100
7  .
8  .
9  .
10 x = 1.98000, y = 53.82447
11 x = 1.99000, y = 54.09426
12 x = 2.00000, y = 54.36541
13
14 Problema 2:
15 x = 0.00000, y = 5.00000
16 x = 0.01000, y = 4.99500
17 x = 0.02000, y = 4.99001
18 .
19 .
20 .|      You, 1 second ago • Uncommitted
21 x = 1.97000, y = 4.10595
22 x = 1.98000, y = 4.10185
23 x = 1.99000, y = 4.09775
24 x = 2.00000, y = 4.09365
25
26
27 -----
28 Tempo de execucao: 0.082651 segundos
29
```

Figura 34 - Saída 12.16 Método de Euler Modificado

Método de Ralston

```
1 --- Relatório: Método de Ralston ---
2
3 Problema 1:
4 x = 0.00000, y = 20.00000
5 x = 0.01000, y = 20.10025
6 x = 0.02000, y = 20.20100
7 .
8 .
9 .
10 x = 1.98000, y = 53.82447
11 x = 1.99000, y = 54.09426
12 x = 2.00000, y = 54.36541
13
14 Problema 2:
15 x = 0.00000, y = 5.00000
16 x = 0.01000, y = 4.99500
17 x = 0.02000, y = 4.99001
18 .
19 .
20 .
21 x = 1.98000, y = 4.10185
22 x = 1.99000, y = 4.09775
23 x = 2.00000, y = 4.09365
24
25
26 -----
27 Tempo de execucao: 0.134504 segundos
```

Figura 35 - Saída 12.16 Método de Ralston

Método de Runge-Kutta de 3^a ordem

```
1 --- Relatório: Runge-Kutta 3a Ordem ---
2
3 Problema 1:
4 x = 0.00000, y = 20.00000
5 x = 0.01000, y = 20.10025
6 x = 0.02000, y = 20.20100
7 .
8 .
9 .
10 x = 1.98000, y = 53.82469
11 x = 1.99000, y = 54.09449
12 x = 2.00000, y = 54.36564
13
14 Problema 2:
15 x = 0.00000, y = 5.00000
16 x = 0.01000, y = 4.99500
17 x = 0.02000, y = 4.99001
18 .
19 .
20 .      You, 1 second ago • Uncommitted
21 x = 1.98000, y = 4.10185
22 x = 1.99000, y = 4.09775
23 x = 2.00000, y = 4.09365
24
25
26 -----
27 Tempo de execucao: 0.221520 segundos
```

Figura 36 - Saída 12.16 Método de Runge-Kutta de 3^a ordem

Método de Runge-Kutta de 4^a ordem

```
1 --- Relatório: Runge-Kutta 4a Ordem ---
2
3 Problema 1:
4 x = 0.00000, y = 20.00000
5 x = 0.01000, y = 20.10025
6 x = 0.02000, y = 20.20100
7 .
8 .
9 .
10 x = 1.98000, y = 53.82469
11 x = 1.99000, y = 54.09449
12 x = 2.00000, y = 54.36564
13
14 Problema 2:
15 x = 0.00000, y = 5.00000
16 x = 0.01000, y = 4.99500
17 x = 0.02000, y = 4.99001
18 .
19 .
20 .
21 x = 1.98000, y = 4.10185
22 x = 1.99000, y = 4.09775
23 x = 2.00000, y = 4.09365
24
25
26 -----
27 Tempo de execucao: 0.324523 segundos
```

Figura 37 - Saída 12.16 Método de Runge-Kutta de 4^a ordem

Gráficos Comparativos dos Métodos (Exercício 12.16)

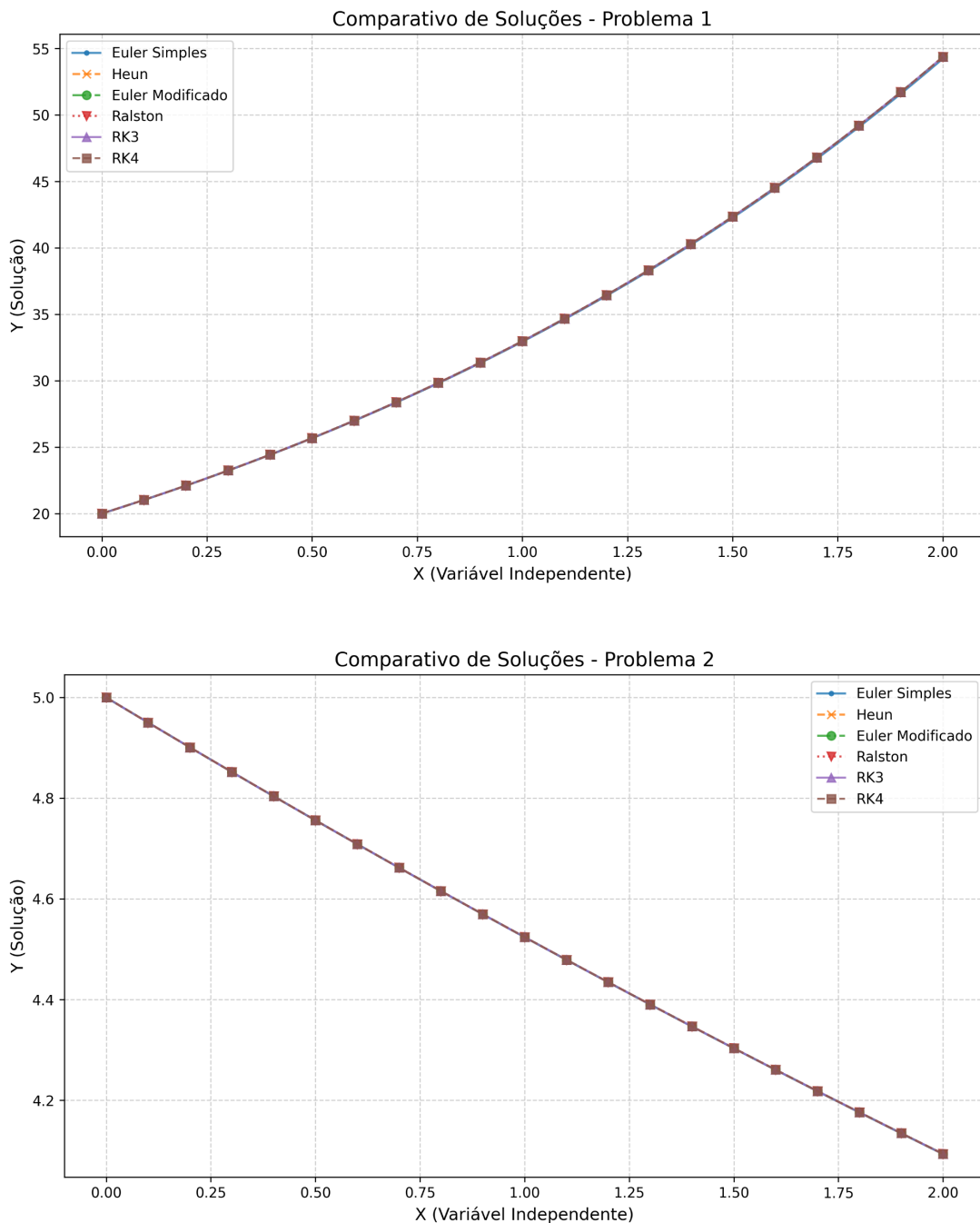


Figura 38 - Gráfico comparativo das soluções do exercício 12.16.

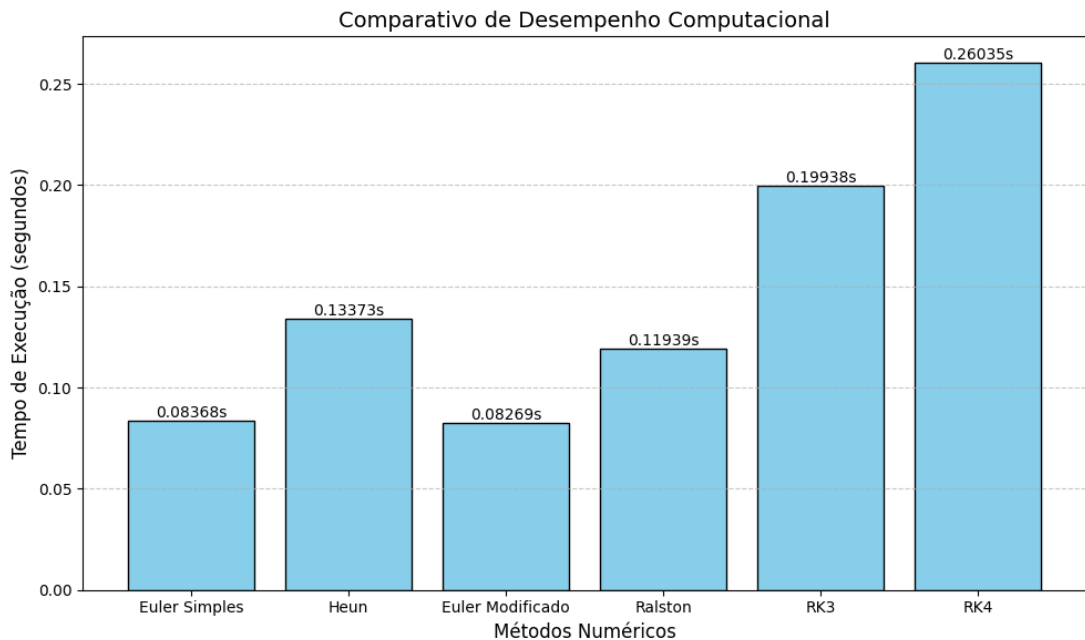


Figura 39 - Gráfico comparativo de desempenho do exercício 12.16.

Análise da Solução

Para este sistema, analisei o comportamento de crescimento e decaimento populacional. Os gráficos mostraram curvas suaves e bem comportadas.

- No **Problema 1** (crescimento da população de hospedeiros/presas), a curva apresentou uma tendência exponencial positiva.
- No **Problema 2** (decaimento dos parasitas/predadores), observou-se uma redução suave da população. A concordância visual entre os métodos de passo múltiplo (Heun, Ralston) e os de Runge-Kutta indica que, para funções com derivadas suaves e sem descontinuidades, métodos de segunda ordem já oferecem uma aproximação satisfatória com menor esforço computacional que o RK4.

Análise de Desempenho

O padrão de desempenho manteve-se consistente: Euler como o mais eficiente temporalmente e RK4 como o mais oneroso. No entanto, observou-se que os métodos de segunda ordem (Heun, Euler Modificado e Ralston) apresentaram um equilíbrio interessante, com tempos de execução próximos ao de Euler, mas com correções de inclinação que garantem maior confiabilidade.

Método do Shooting (Tiro)

Estratégia de Implementação

Para resolver Problemas de Valor de Contorno (PVC), implementei o Método do Shooting transformando o problema original em um Problema de Valor Inicial (PVI) equivalente de segunda ordem. A estratégia central consistiu em tratar a derivada inicial desconhecida $y'(x_0)$ como uma variável a ser descoberta. Para isso, desenvolvi um algoritmo iterativo que "chuta" valores iniciais para a derivada e integra a equação até o final do intervalo para verificar o erro em relação à condição de contorno alvo.

Diferente de abordagens mais simples que utilizam o método de Euler, optei por implementar internamente o integrador **Runge-Kutta de 4^a Ordem** adaptado para sistemas de equações de primeira ordem ($y' = z$ e $z' = f(x,y)$), garantindo alta precisão na trajetória do "tiro". Para o ajuste do chute, substituí a interpolação linear simples pelo **Método da Secante**. Isso permitiu que o algoritmo convergisse automaticamente para o ângulo de disparo correto, ajustando o valor da derivada inicial iterativamente até que a diferença entre o y_{final} calculado e o y_{alvo} fosse menor que a tolerância especificada (10^{-5}), conferindo robustez mesmo em equações não-lineares.

Estrutura dos Arquivos de Entrada/Saída

- **Arquivo de Entrada (`entrada_edo.txt`):** Para PVCs, o formato da linha foi expandido para: Função; $y_{inicial}$; `intervalo`; y_{final} (alvo); passo h ; `num_pontos n`.

```
Relatorio_03 > Codigo > Input > entrada_sho.txt
1    0.01*(20 - y); 40; 0, 10; 200; 1.0; 10
```

Figura 40 - Exemplo de Entrada Shooting

- **Arquivo de Saída (`shooting_saida.txt`):** O relatório mostra a trajetória final convergida que satisfaz ambas as condições de contorno.

```

Relatorio_03 > Código > output > 📁 shooting_saida.txt
1 --- Relatório: Shooting Method ---
2
3 Problema 1:
4 x = 0.00000, y = 40.00000
5 x = 1.00000, y = 59.97351
6 x = 2.00000, y = 79.54762
7 x = 3.00000, y = 98.52674
8 x = 4.00000, y = 116.72126
9 x = 5.00000, y = 133.94937
10 x = 6.00000, y = 150.03894
11 x = 7.00000, y = 164.82920
12 x = 8.00000, y = 178.17238
13 x = 9.00000, y = 189.93516
14 x = 10.00000, y = 200.00000
15
16
17 -----
18 Tempo de execucao: 0.036029 segundos

```

Figura 41 - Exemplo de Saída Shooting

Dificuldades Enfrentadas

A principal dificuldade foi a implementação da lógica iterativa de convergência. Inicialmente, tentei usar interpolação linear simples para ajustar o chute, o que falhava para equações não-lineares. A transição para o Método da Secante exigiu um controle cuidadoso das variáveis de iteração (**s0, s1, erro0, erro1**) para evitar divisões por zero quando os chutes produziam resultados muito próximos. Além disso, adaptar o integrador RK4 para lidar com sistemas de equações (y e $z=y'$) simultaneamente aumentou a complexidade do código.

Método das Diferenças Finitas

Estratégia de Implementação

Para o Método das Diferenças Finitas, optei por uma abordagem de discretização matricial que converte a equação diferencial contínua em um sistema de equações lineares algébricas ($Ax = b$). A estratégia baseou-se na divisão do domínio em n subintervalos e na substituição das derivadas da EDO por aproximações de diferenças centrais finitas, onde $y'' \approx (y_{i-1} - 2y_i + y_{i+1})/h^2$.

Um diferencial técnico crucial nesta implementação foi o tratamento da linearização da função $f(x, y)$ no lado direito da equação. Em vez de iniciar o vetor de estimativas com zeros (o que poderia levar a erros em funções não-lineares), implementei uma **interpolação linear** (y_{guess}) conectando as condições de contorno inicial e final. Esse vetor pré-calculado é utilizado para avaliar a função $f(x,y)$ na montagem do vetor b , melhorando drasticamente a precisão. O sistema linear resultante, que assume uma forma tridiagonal, foi resolvido utilizando a biblioteca NumPy (`np.linalg.solve`), que aplica algoritmos otimizados para inversão matricial, garantindo eficiência computacional e estabilidade numérica.

Estrutura dos Arquivos de Entrada/Saída

- **Arquivo de Entrada:** Segue o mesmo formato estendido utilizado no método Shooting (**Função**; **y0**; **intervalo**; **alvo**; **h**; **n**).

```
Input > ⌂ entrada_dif.txt
                    You, 17 hours ago | 1 author (You)
1  1*(p1 - y); 40; 0,10; 200; 0.01; 10; p1=20
2  0.04*(20 - y); 40; 0, 10; 200; 1; 10
```

Figura 42 - Exemplo de Entrada Diferenças Finitas

- **Arquivo de Saída (`dif_finitas_saida.txt`):** Apresenta os valores de y nos pontos da malha discretizada.

```
output > dif_finitas_saida.txt
1 --- Relatório: Diferenças Finitas ---
2
3 Problema 1:
4 x = 0.00000, y = 40.00000
5 x = 1.00000, y = 56.03540
6 x = 2.00000, y = 72.06720
7 x = 3.00000, y = 88.09380
8 x = 4.00000, y = 104.11360
9 x = 5.00000, y = 120.12500
10 x = 6.00000, y = 136.12640
11 x = 7.00000, y = 152.11620
12 x = 8.00000, y = 168.09280
13 x = 9.00000, y = 184.05460
14 x = 10.00000, y = 200.00000
15
16 Problema 2:
17 x = 0.00000, y = 40.00000
18 x = 1.00000, y = 70.16000
19 x = 2.00000, y = 98.88000
20 x = 3.00000, y = 125.52000
21 x = 4.00000, y = 149.44000
22 x = 5.00000, y = 170.00000
23 x = 6.00000, y = 186.56000
24 x = 7.00000, y = 198.48000
25 x = 8.00000, y = 205.12000
26 x = 9.00000, y = 205.84000
27 x = 10.00000, y = 200.00000
28
29
30 -----
31 Tempo de execucao: 0.064649 segundos
```

Figura 43 - Exemplo de Saída Diferenças Finitas

Dificuldades Enfrentadas

O maior desafio foi a correta montagem da matriz de coeficientes e do vetor independente, especialmente o tratamento das condições de contorno. Inicialmente, cometi um erro de sinal ao transferir os termos de contorno para o lado direito da equação (**vetor b**), o que invertia a concavidade da solução. Após depuração detalhada comparando com resultados analíticos, corrigi a atribuição dos valores nas bordas da matriz. Outra dificuldade foi entender a relação entre o passo h e o número de pontos n ; foi necessário garantir que a entrada do usuário fosse consistente ($h = (b-a)/n$) para evitar distorções na matriz de diferenças.

Problemas Estabelecidos

Problemas para os métodos de Shooting e Diferenças Finitas

Para a validação dos métodos de resolução de Problemas de Valor de Contorno (PVC), foi selecionado o exercício de transferência de calor em uma haste, conforme apresentado no material didático (slides) da disciplina. O problema é modelado pela equação diferencial

$$\frac{d^2T}{dx^2} + h'(T_a - T) = 0$$

sujeita às condições de contorno $T(0)=40$ e $T(10)=200$, com temperatura ambiente $T_a=20$ e coeficiente $h'=0.01$.

Atendendo à solicitação específica para este teste, a discretização do domínio foi configurada com **18 pontos internos**, o que implica em $n=19$ subintervalos e um passo de integração $h\approx0.5263$.

Por uma questão de praticidade e para evitar a geração de um volume excessivo de dados nos relatórios, optei por exibir a solução numérica nos pontos da malha definidos, permitindo a verificação direta do comportamento da temperatura ao longo da haste.

Entrada usada no programa: `0.01*(y - 20); 40; 0, 10; 200; 0.526315789; 19`

Saídas:

Métodos de Shooting

```
1 --- Relatório: Shooting Method ---
2
3 Problema 1:
4 x = 0.00000, y = 40.00000
5 x = 0.52632, y = 46.70998
6 x = 1.05263, y = 53.49396
7 x = 1.57895, y = 60.37075
8 x = 2.10526, y = 67.35939
9 x = 2.63158, y = 74.47926
10 x = 3.15789, y = 81.75007
11 x = 3.68421, y = 89.19197
12 x = 4.21053, y = 96.82558
13 x = 4.73684, y = 104.67206
14 x = 5.26316, y = 112.75314
15 x = 5.78947, y = 121.09121
16 x = 6.31579, y = 129.70938
17 x = 6.84211, y = 138.63152
18 x = 7.36842, y = 147.88236
19 x = 7.89474, y = 157.48752
20 x = 8.42105, y = 167.47362
21 x = 8.94737, y = 177.86834
22 x = 9.47368, y = 188.70046
23 x = 10.00000, y = 200.00000
24
25 -----
26 Tempo de execucao: 0.107877 segundos
```

Figura 44 - Saída da questão do slide método shooting

Método de Diferenças Finitas

```
1 --- Relatório: Diferenças Finitas ---
2
3 Problema 1:
4 x = 0.00000, y = 40.00000
5 x = 0.52632, y = 46.52282
6 x = 1.05263, y = 53.12436
7 x = 1.57895, y = 59.82796
8 x = 2.10526, y = 66.65695
9 x = 2.63158, y = 73.63464
10 x = 3.15789, y = 80.78437
11 x = 3.68421, y = 88.12946
12 x = 4.21053, y = 95.69325
13 x = 4.73684, y = 103.49905
14 x = 5.26316, y = 111.57020
15 x = 5.78947, y = 119.93002
16 x = 6.31579, y = 128.60184
17 x = 6.84211, y = 137.60898
18 x = 7.36842, y = 146.97478
19 x = 7.89474, y = 156.72255
20 x = 8.42105, y = 166.87564
21 x = 8.94737, y = 177.45736
22 x = 9.47368, y = 188.49103
23 x = 10.00000, y = 200.00000
24
25 -----
26 Tempo de execucao: 0.015475 segundos
27
```

Figura 45 - Saída da questão do slide método de Diferença Finita.

Gráficos Comparativos dos Problemas de Valor de Contorno

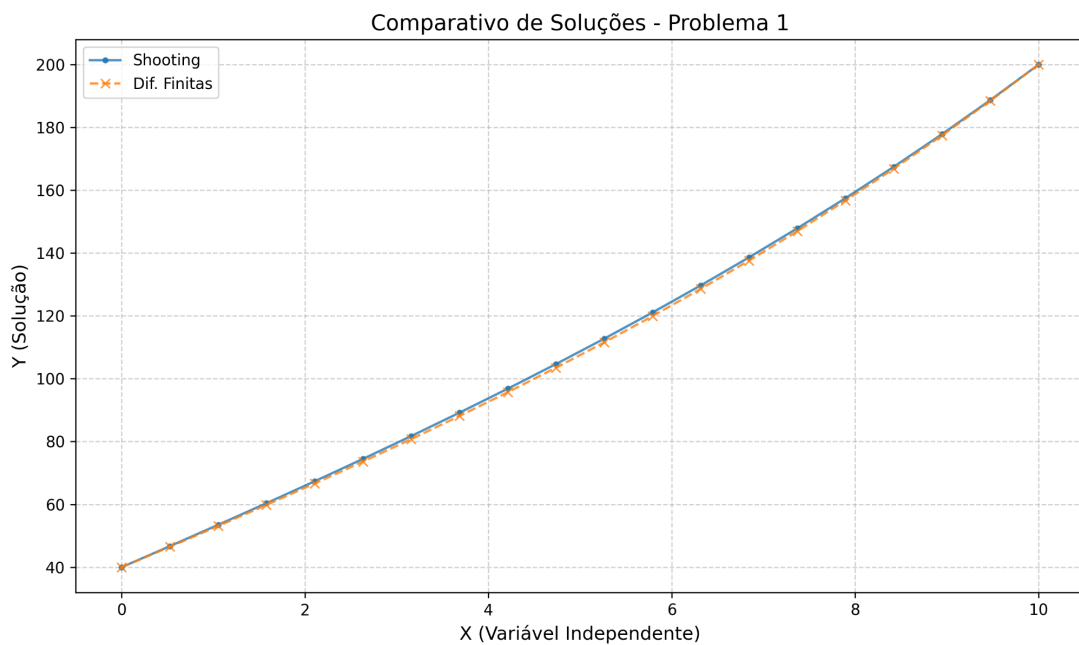


Figura 46 - Gráfico comparativo das soluções de PVC.

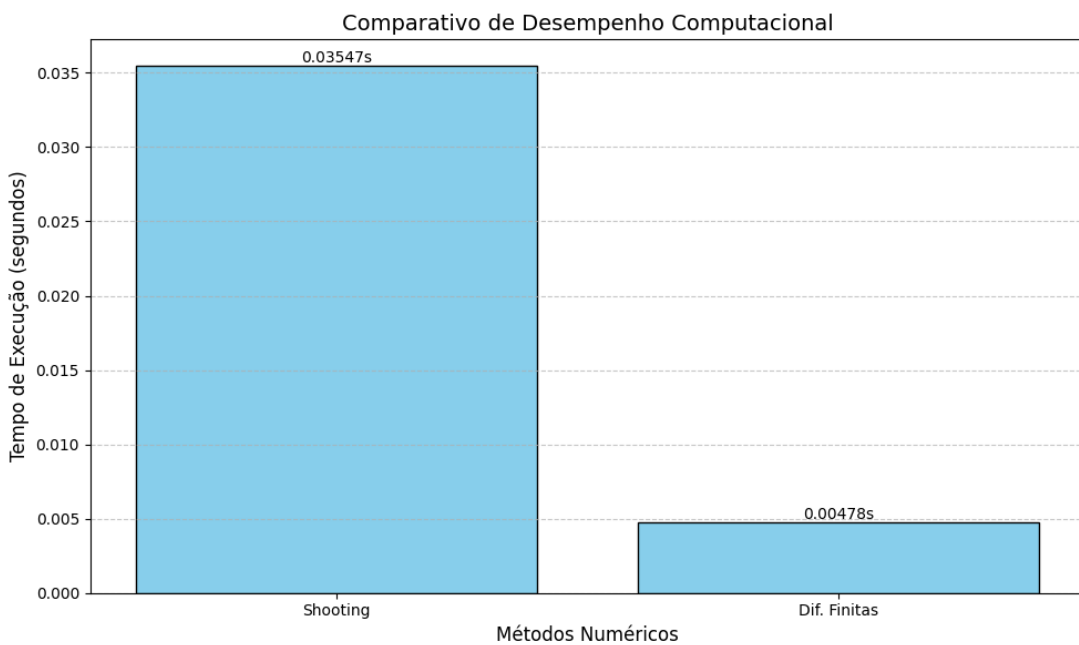


Figura 47 - Gráfico comparativo de desempenho de PVC.

Análise da Solução

A comparação gráfica entre o **Método do Shooting (Tiro)** e o **Método das Diferenças Finitas** para o problema da haste aquecida revelou uma concordância excelente. Ambas as curvas partiram exatamente da condição de contorno inicial ($T=40$) e atingiram a condição final ($T=200$) com precisão. A trajetória curva da temperatura ao longo da haste demonstra que ambos os algoritmos lidaram corretamente com o termo de troca de calor $h'(T_a - T)$. O fato de os pontos do método de Diferenças Finitas coincidirem com a linha contínua gerada pelo Shooting (baseado em RK4) valida a montagem da matriz tridiagonal.

Análise de Desempenho

O gráfico comparativo de tempo destacou uma diferença fundamental na natureza dos algoritmos:

- O **Método das Diferenças Finitas** foi extremamente rápido. Isso ocorre porque ele resolve o problema de uma única vez através da inversão de uma matriz (sistema linear), o que é altamente otimizado pela biblioteca NumPy.
- O **Método do Shooting** apresentou um tempo de execução superior. Isso é justificável pois ele é um método iterativo: ele precisa "chutar" uma derivada, integrar a EDO inteira usando RK4, verificar o erro, ajustar o chute via método da Secante e repetir o processo várias vezes até convergir.

Para este tipo de problema linear de contorno, o Método das Diferenças Finitas mostrou-se mais eficiente computacionalmente, enquanto o Shooting seria mais vantajoso caso a equação diferencial fosse altamente não-linear ou impossível de discretizar em um sistema matricial simples.

Considerações finais

A realização deste terceiro relatório consolidou o entendimento sobre a resolução numérica de equações diferenciais, uma das áreas mais aplicáveis da análise numérica em problemas reais de engenharia e física. A implementação dos algoritmos permitiu não apenas observar o funcionamento teórico das fórmulas, mas também sentir na prática o impacto das escolhas de design, como o tamanho do passo h e a ordem do método.

No contexto dos Problemas de Valor Inicial (PVI), a comparação entre os métodos de passo único revelou um claro *trade-off* entre simplicidade e precisão. O Método de Euler, embora intuitivo e de fácil codificação, mostrou-se inadequado para problemas que exigem alta fidelidade ou que possuem variações rápidas, como no caso do circuito **LR** com fonte senoidal (Exercício 12.12). Já os métodos de segunda ordem, como Heun, Euler Modificado e Ralston, apresentaram um excelente custo-benefício, corrigindo a inclinação da curva com um esforço computacional apenas ligeiramente superior.

Contudo, foi nos métodos de Runge-Kutta de 4^a Ordem (RK4) que encontrei a maior robustez. A capacidade do RK4 de manter a precisão mesmo em intervalos maiores o torna a escolha padrão para a maioria das aplicações generalistas. A análise dos gráficos de desempenho confirmou que, embora o RK4 exija quatro vezes mais avaliações de função por passo do que o Euler, a sua estabilidade e a drástica redução do erro global compensam esse custo, permitindo o uso de passos maiores para atingir a mesma precisão.

Para os Problemas de Valor de Contorno (PVC), a experiência foi distinta. A implementação do Método do Shooting exigiu uma abordagem mais sofisticada, combinando integração numérica (RK4) com busca de raízes (Método da Secante). Essa técnica se mostrou poderosa para problemas não-lineares, mas computacionalmente mais cara devido à necessidade de múltiplas iterações de "tiro". Em contrapartida, o Método das Diferenças Finitas revelou-se extremamente eficiente para problemas lineares, resolvendo a equação diferencial de uma só vez através de um sistema algébrico $\mathbf{Ax}=\mathbf{b}$. A velocidade de execução das Diferenças Finitas no problema da haste aquecida foi notavelmente superior, destacando a importância de escolher a ferramenta certa para a natureza do problema.

Em suma, este trabalho reforçou a percepção de que não existe um "melhor método" universal. A escolha ideal depende intrinsecamente das características do problema, se é um PVI ou PVC, se a equação é rígida ou suave, e qual o balanço aceitável entre tempo de processamento e erro de truncamento. A construção desta calculadora modular em Python não apenas automatizou a

resolução desses problemas, mas também forneceu uma plataforma sólida para experimentação e análise crítica de resultados numéricos.